



(12)

CERERE DE BREVET DE INVENTIE

(21) Nr. cerere: **a 2014 00881**

(22) Data de depozit: **16/01/2015**

(41) Data publicării cererii:
29/07/2016 BOPI nr. **7/2016**

(71) Solicitant:
• **SYSCOM 18 S.R.L.**, CALEA PLEVNEI
NR. 139B, SECTOR 6, BUCUREȘTI, B, RO

(72) Inventatori:
• **CHELARU TEODOR-VIOREL**,
STR. VASILE CONTA NR. 1, BL. 34 A2,
AP. 16, PLOIEȘTI, PH, RO;

• **BORLAN ADRIAN**, STR. HAGI-GHITĂ
NR. 25, SECTOR 1, BUCUREȘTI, B, RO;
• **HOLDON BOGDAN**, BD. IULIU MANIU
NR. 17, BL. 21P, SC. 6, ET. 5, AP. 209,
SECTOR 6, BUCUREȘTI, B, RO;
• **CONSTANTINESCU CRISTIAN**,
STR. CAPORALULUI NR. 25-27,
BRAGADIRU, IF, RO;
• **CHELARU ADRIAN**, STR. VASILE CONTA
NR. 1, BL. 34 A2, AP. 16, PLOIEȘTI, PH, RO

(54) SISTEM DE GHIDARE NAVIGAȚIE ȘI CONTROL, CU UTILIZAREA UNGHIURILOR DE ROTATIE

(57) Rezumat:

Invenția se referă la un sistem de ghidare navigație și control, pentru un lansator suborbital. Sistemul conform inventiei este format din următoarele module: un modul (M1) cu sursă de alimentare, un modul (M2) cu unitate de calcul și control interfețe, un modul (M3) cu senzor de accelerare liniară pe 3 axe, și receptor GPS, un modul (M4) cu senzor de viteză unghiulară pe 3 axe, și senzor de câmp magnetic pe 3 axe, componente modulelor fiind dispuse pe plăci de circuit imprimat, realizate din punct de vedere geometric astfel încât să respecte configurația vectorului suborbital, toți senzorii fiind plasați în centrul placilor, cu axele orientate în aceleași direcții.

Revendicări: 2

Figuri: 3

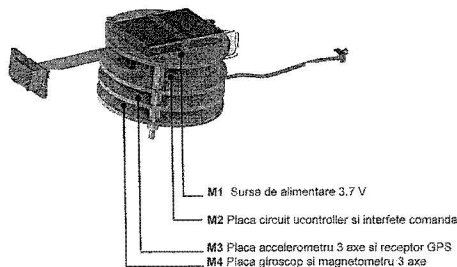


Fig. 2

Cu începere de la data publicării cererii de brevet, cererea asigură, în mod provizoriu, solicitantului, protecția conferită potrivit dispozițiilor art.32 din Legea nr.64/1991, cu excepția cazurilor în care cererea de brevet de inventie a fost respinsă, retrasă sau considerată ca fiind retrasă. Întinderea protecției conferite de cererea de brevet de inventie este determinată de revendicările conținute în cererea publicată în conformitate cu art.23 alin.(1) - (3).



Sistem de ghidare navigatie si control cu utilizarea unghiurilor de rotatie

(Descrierea propunerii de inventie)

1. Descrierea produsului

GNC, din punct de vedere constructiv, este format din urmatoarele module, ca in Figura 1:

- modul cu sursa de alimentare de 3.7 V (**M1**)
- modul cu unitatea de calcul si control interfete (**M2**)
- modul cu senzor de acceleratie liniara pe 3 axe si receptor GPS (**M3**)
- modul cu senzor de viteza unghiulara pe 3 axe si senzor camp magnetic pe 3 axe (**M4**).

Componentele modulelor sunt dispuse pe placi de circuit imprimat, realizate din punct de vedere geometric astfel incat sa respecte configuratia vectorului suborbital (Figura 2).

Toti senzorii pe 3 axe sunt plasati in centrul placilor si cu axele orientate in aceleasi directii (Figura 3).

2. Descriere metodei de calcul

2.1 Semnalele masurate de senzori

După rotirea măsurătorilor pentru suprapunerea axelor sistemului de măsură peste axele triedrului legat de corp, avem la dispoziție 6 mărimi:

- p, q, r - componentele vitezei unghiulare după axele triedrului legat de corp, măsurate de girometre
- a_{xa}, a_{ya}, a_{za} - componente ale accelerării mișcării după axele triedrului legat de corp, măsurate de accelerometre.

2.2 Determinarea unghiurilor de rotatie

După cum se arată în lucrarea [1] o rotație între două triedre oarecare poate fi exprimată cu ajutorul unui singur unghi σ în jurul unei axe de versori l, m, n .

Dar rotația generală a unghiului σ poate fi exprimată prin suprapunerea a trei rotații simultane după axele triedrului mobil ($Oxyz$) de unghiuri:

$$\xi = \sigma l; \quad \eta = \sigma m; \quad \zeta = \sigma n \quad (1)$$

unde:

- ξ - unghi de rotație în jurul axei x (unghiul de ruliu)
- η - unghi de rotație în jurul axei y
- ζ - unghi de rotație în jurul axei z

Cele trei unghiuri definite anterior verifică relația:

$$\sigma^2 = \xi^2 + \eta^2 + \zeta^2 \quad (2)$$

În lucrarea [1] se arată că dacă se știu vitezele unghiulare, unghiurile de rotație se obțin cu relația:

$$[\dot{\xi} \quad \dot{\eta} \quad \dot{\zeta}]^T = \mathbf{W}_R [p \quad q \quad r]^T \quad (3)$$

unde:

$$\mathbf{W}_R = \begin{bmatrix} f\xi^2 + h & f\eta\xi - \zeta/2 & f\zeta\xi + \eta/2 \\ f\xi\eta + \zeta/2 & f\eta^2 + h & f\zeta\eta - \xi/2 \\ f\xi\zeta - \eta/2 & f\eta\zeta + \xi/2 & f\zeta^2 + h \end{bmatrix} \quad (4)$$

în care

$$h = \frac{\sigma}{2 \tan(\sigma/2)}; \quad f = \frac{1-h}{\sigma^2}, \quad (5)$$

În forma scalară relația (3) devine:

$$\begin{aligned} \dot{\xi} &= (f\xi^2 + h)p + (f\eta\xi - \zeta/2)q + (f\zeta\xi + \eta/2)r; \\ \dot{\eta} &= (f\xi\eta + \zeta/2)p + (f\eta^2 + h)q + (f\zeta\eta - \xi/2)r; \\ \dot{\zeta} &= (f\xi\zeta - \eta/2)p + (f\eta\zeta + \xi/2)q + (f\zeta^2 + h)r. \end{aligned} \quad (6)$$

2.3 Determinarea coordonatelor liniare

Din lucrarea [1], rezultă că dacă punctul de măsurare a accelerărilor nu coincide cu centrul de masă a lansatorului, dar presupunem că poziția lor relativă este fixă în timp, atunci accelerările centrului de masă în triunghiul „corp” se pot determina cu relațiile:

$$[a_x \quad a_y \quad a_z]^T = [a_{xa} \quad a_{ya} \quad a_{za}]^T - \mathbf{B}_\Omega [x_a \quad y_a \quad z_a]^T \quad (7)$$

unde:

- x_a, y_a, z_a - coordonatele accelerometrului în sistemul legat de corp
- a_{xa}, a_{ya}, a_{za} - valorile accelerărilor indicate de accelerometru
- a_x, a_y, a_z - accelerările centrului de masă,

iar:

$$\mathbf{B}_\Omega = \dot{\mathbf{A}}_\Omega + \mathbf{A}_\Omega^2 \equiv \begin{bmatrix} -(q^2 + r^2) & pq - \dot{r} & rp + \dot{q} \\ pq + \dot{r} & -(r^2 + p^2) & qr - \dot{p} \\ rp - \dot{q} & qr + \dot{p} & -(p^2 + q^2) \end{bmatrix} \quad (8)$$

Dacă se neglijeează componentele accelerărilor unghiulare, greu de determinat, din (7) se obțin următoarele relații scalare:

$$\begin{aligned} a_x &= a_{x_0} + (q^2 + r^2)x_a - pqy_a - prz_a \\ a_y &= a_{y_0} - pqx_a + (r^2 + p^2)y_a - qrz_a \\ a_z &= a_{z_0} - rpx_a - qry_a + (p^2 + q^2)z_a \end{aligned} \quad (9)$$

aceasta putând fi considerată o relație de corecție.

Mai departe, accelerările se pot roti în triedrul de start:

$$[a_{x_0} \ a_{y_0} \ a_{z_0}]^T = \mathbf{B}_I [a_x \ a_y \ a_z]^T \quad (10)$$

unde, (utilizând unghiuri de rotație) \mathbf{B}_I este matricea de rotație de la triedrul legat de corp la triedrul de start (inertial):

$$\mathbf{B}_I = \begin{bmatrix} a\xi^2 + c & a\eta\xi - b\zeta & a\zeta\xi + b\eta \\ a\xi\eta + b\zeta & a\eta^2 + c & a\zeta\eta - b\xi \\ a\xi\zeta - b\eta & a\eta\zeta + b\xi & a\zeta^2 + c \end{bmatrix} \quad (11)$$

unde:

$$a = \frac{1-c}{\sigma^2}; \quad b = \frac{s}{\sigma}; \quad c = \cos \sigma; \quad s = \sin \sigma \quad (12)$$

Relația (10) poate fi pusă și în forma scalară:

$$\begin{aligned} a_{x_0} &= (a\xi^2 + c)a_x + (a\eta\xi - b\zeta)a_y + (a\zeta\xi + b\eta)a_z; \\ a_{y_0} &= (a\xi\eta + b\zeta)a_x + (a\eta^2 + c)a_y + (a\zeta\eta - b\xi)a_z; \\ a_{z_0} &= (a\xi\zeta - b\eta)a_x + (a\eta\zeta + b\xi)a_y + (a\zeta^2 + c)a_z \end{aligned} \quad (13)$$

Prin integrarea accelerărilor în triedrul de start se determină vitezele în triedrul de start:

$$[\dot{V}_x \ \dot{V}_y \ \dot{V}_z]^T = [a_{x_0} \ a_{y_0} \ a_{z_0}]^T \quad (14)$$

iar apoi printr-o nouă integrare coordonatele:

$$[\dot{x}_0 \ \dot{y}_0 \ \dot{z}_0]^T = [V_x \ V_y \ V_z]^T \quad (15)$$

2.4 Formarea semnalelor de dirijare

Se pleacă de la semnalele de control a parametrilor de interes:

$$u_z = k_u^h h_z; \quad u_\phi = k_u^\xi \tilde{\xi} + k_u^\zeta \dot{\tilde{\xi}}; \quad u_\theta = k_u^\eta \tilde{\eta} + k_u^\vartheta \dot{\tilde{\eta}} + k_u^{I\eta} \tilde{I}_\eta; \quad u_\zeta = k_u^\zeta \tilde{\zeta} + k_u^\xi \dot{\tilde{\zeta}} \quad (16)$$

având semnificația:

- u_z - semnalul de control abaterii laterale
- u_ξ - semnalul de control al unghiului după axa x
- u_η - semnalul de control al unghiului după axa y
- u_ζ - semnalul de control al unghiului după axa z.

Parametrii relativi de comandă $\tilde{\eta}; \tilde{\zeta}; \tilde{\xi}; h_z$ sunt dați de:

$$\tilde{\eta} = \eta - \eta_d; \quad \zeta = \zeta - \zeta_d; \quad \tilde{\xi} = \xi - \xi_d; \quad h_z = z_0 - z_{0d} \quad (17)$$

unde: $\eta_d; \zeta_d; \xi_d; z_{0d}$ sunt mărimele de referință, dintre care unghiul programat de tangaj scade liniar:

$$\eta_d = \eta_d - / \dot{\eta}_d / t \quad (18)$$

Suplimentar fată de ecuațiile de mișcare se mai definește termenul integral:

$$\dot{\tilde{I}}_\eta = \tilde{\eta} \quad (19)$$

Legătura dintre componentelete derivatele unghiuilor tip Euler și componentelete vitezei de rotație în triedrul mobil este dată de relația (6).

În acest caz, se poate scrie comanda de dirijare în formă matriceală:

$$\begin{bmatrix} u_l \\ u_m \\ u_n \end{bmatrix} = -\mathbf{U}_R \begin{bmatrix} u_\xi \\ u_\eta \\ u_\zeta \end{bmatrix} - \mathbf{T}_2 \mathbf{A}_I \begin{bmatrix} 0 \\ 0 \\ u_z \end{bmatrix} \quad (20)$$

unde:

$$\mathbf{U}_R = \mathbf{W}_R^{-1} = \begin{bmatrix} e\xi^2 + b & e\eta\xi + a\zeta & e\xi\xi - a\eta \\ e\xi\eta - a\zeta & e\eta^2 + b & e\zeta\eta + a\xi \\ e\xi\zeta + a\eta & e\eta\zeta - a\xi & e\xi^2 + b \end{bmatrix} \quad (21)$$

$$\mathbf{A}_I = \mathbf{B}_I^T = \begin{bmatrix} a\xi^2 + c & a\eta\xi + b\zeta & a\zeta\xi - b\eta \\ a\xi\eta - b\zeta & a\eta^2 + c & a\zeta\eta + b\xi \\ a\xi\zeta + b\eta & a\eta\zeta - b\xi & a\zeta^2 + c \end{bmatrix}$$

$$\mathbf{T}_2 = \begin{bmatrix} 0 & 0 & 0 \\ 0 & 0 & -1 \\ 0 & 1 & 0 \\ 0 & 0 & 0 \end{bmatrix}, e = \frac{1-b}{\sigma^2}$$

În final comanda de dirijare se poate pune în formă scalară:

$$\begin{aligned} u_I &= -(e\xi^2 + b)u_\xi - (e\eta\xi + a\zeta)u_\eta - (e\zeta\xi - a\eta)u_\zeta \\ u_m &= -(e\xi\eta - a\zeta)u_\xi - (e\eta^2 + b)u_\eta - (e\zeta\eta + a\xi)u_\zeta + (a\zeta^2 + c)u_z \\ u_n &= u_{nb} - (e\xi\zeta + a\eta)u_\xi - (e\eta\zeta - a\xi)u_\eta - (e\zeta^2 + b)u_\zeta - (a\zeta\eta + b\xi)u_z \end{aligned} \quad (22)$$

și este compusă din trei semnale care, după amplificare, se aplică sistemului de comandă reactivă (RCS) pe cele trei canale:

u_I - comanda în ruliu

u_m - comanda în gîrație

u_n - comanda în tangaj

u_{nb} - semnal de compensare a greutății.

Algoritmul de calcul astfel descris este utilizat pentru formarea semnalului de dirijare la sistemul de ghidare, navigatie și control care face obiectul prezentei propunerii de inventie.

3. Revendicari

A. Utilizarea unui µController programabil cu consum foarte mic de energie (Ultra Low Power) și cu unitate de calcul în virgula mobila, ceea ce permite efectuarea unor calcule complexe, caracteristice unui procesor numeric de semnal (DSP), dar cu un buget energetic sensibil îmbunătățit.

B. Metoda de determinarea a coordonatelor liniare și a atitudinii vehiculului bazată pe unghiuri de rotație.

4. Referinte

- [1] Chelaru T.V. „Dinamica Zborului-Racheta dirijată”, Ed a - II- a revizuită și adăugită , Ed. Printech, ISBN 973-718-013-5, București, 434 pag. ,mai 2004.
- [2] „Proiect Lansator suborbital de testare, dezvoltare subsisteme neconvenționale” Raport științific și tehnic etapa 1, decembrie 2012.

- [3] STP M 040421-99, „*Indici de calitate a zborului rachetei comandate - Cerințe tehnice generale*”, București, 1998.
- [4] STP M 40455-99, „*Sistemul rachetă dirijată - Terminologie și simboluri*”, București, 1998.
- [5] STP M 40406-99, „*Sistemul rachetă comandanță - Terminologie și simboluri*”, București, 1998.
- [6] STP M 40405-96, „*Caracteristici geometrice și aerodinamice ale rachetei - Terminologie și simboluri*”, București, 1995;
- [7] STP M 40420-96 -*Derivatele coeficienților tensorilor dinamici - Terminologie și simboluri*, București, 1995;
- [8] Chelaru T.V., Barbu C. “*Mathematical model for sounding rockets, using attitude and rotation angles*”, International Journal of Applied Mathematics and Informatics, ISSN 2074-1278, Issue 1, Volume 3, pp. 35-44, 2009.
- [9] Chelaru T.V., Stoica A.M., Barbu C., Chelaru A., “*Attitude control for small satellites using rotation angles*”, Proceedings of 1-st IAA Conference on Dynamics and Control of Space Systems–DyCoSS'2012, pp. 719-738, ISBN 978-0-87703-588-6 Porto, Portugalia, 19-21 Mar. 2012.
- [10] Niță M.M., Stoica A., Dănilă S., Pârvu P., Teodorescu C., “*Derivatele coeficienților tensorilor dinamic*”, STP M 40420-96, 1995, Standard de Tehnică Profesională Militară.

5. Abrevieri

RCS - Reaction Control System (Sistem de comanda reactiva)

GPS - Global Positioning System (Sistem de pozitionare globală prin satelit)

GNC - Guidance Navigation and Control System (Sistem de ghidare navigatie și control)

MEMS - Micro Electro Mechanical System (Dispozitive micro-electro-mecanice)

Terminologia și notațiile sunt în concordanță cu standardele [3], [4], [5], [6], și [7].

$$\mathbf{A}_I = \mathbf{B}_I^T = \begin{bmatrix} a\xi^2 + c & a\eta\xi + b\zeta & a\zeta\xi - b\eta \\ a\xi\eta - b\zeta & a\eta^2 + c & a\zeta\eta + b\xi \\ a\xi\zeta + b\eta & a\eta\zeta - b\xi & a\zeta^2 + c \end{bmatrix}$$

$$\mathbf{T}_2 = \begin{bmatrix} 0 & 0 & 0 \\ 0 & 0 & -1 \\ 0 & 1 & 0 \\ 0 & 0 & 0 \end{bmatrix}, e = \frac{1-b}{\sigma^2}$$

În final comanda de dirijare se poate pune în formă scalară:

$$\begin{aligned} u_r &= -(e\xi^2 + b)u_\xi - (e\eta\xi + a\zeta)u_\eta - (e\zeta\xi - a\eta)u_\zeta \\ u_m &= -(e\xi\eta - a\zeta)u_\xi - (e\eta^2 + b)u_\eta - (e\zeta\eta + a\xi)u_\zeta + (a\xi^2 + c)u_r \\ u_n &= u_{nb} - (e\xi\zeta + a\eta)u_\xi - (e\eta\zeta - a\xi)u_\eta - (e\zeta^2 + b)u_\zeta - (a\zeta\eta + b\xi)u_r \end{aligned} \quad (22)$$

și este compusă din trei semnale care, după amplificare, se aplică sistemului de comandă reactivă (RCS) pe cele trei canale:

u_r - comanda în ruliu

u_m - comanda în gîrătie

u_n - comanda în tangaj

u_{nb} - semnal de compensare a greutății.

Algoritmul de calcul astfel descris este utilizat pentru formarea semnalului de dirijare la sistemul de ghidare, navigație și control care face obiectul prezentei propunerii de inventie.

3. Revendicari

A. Utilizarea unui µController programabil cu consum foarte mic de energie (Ultra Low Power) și cu unitate de calcul în virgula mobilă, ceea ce permite efectuarea unor calcule complexe, caracteristice unui procesor numeric de semnal (DSP), dar cu un buget energetic sensibil îmbunatatit.

B. Metoda de determinarea a coordonatelor liniare și a atitudinii vehiculului bazată pe unghiuri de rotație.

4. Referinte

- [1] Chelaru T.V. „Dinamica Zborului-Racheta dirijată”, Ed a - II- a revizuită și adăugită , Ed. Printech, ISBN 973-718-013-5, București, 434 pag., mai 2004.
- [2] „Proiect Lansator suborbital de testare, dezvoltare subsisteme neconvenționale” Raport științific și tehnic etapa 1, decembrie 2012.

6. Figuri

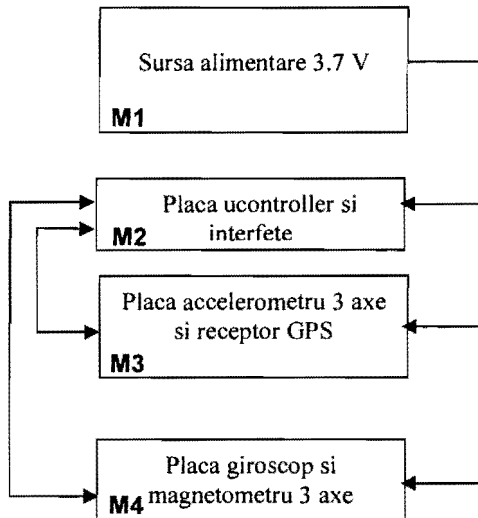


Figura 1

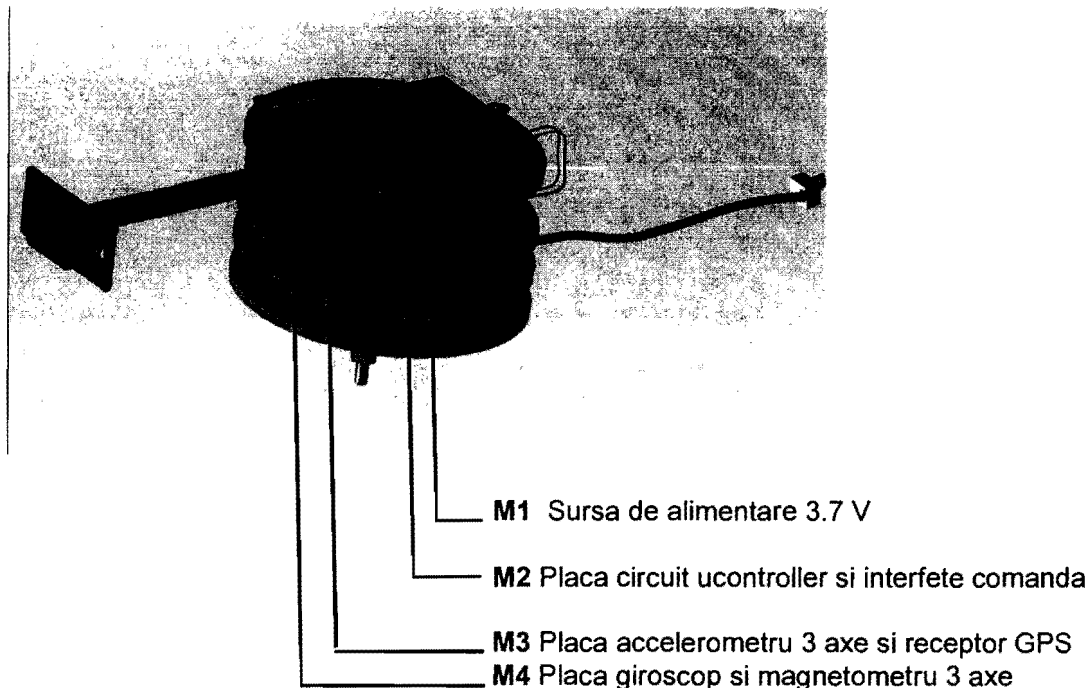


Figura 2

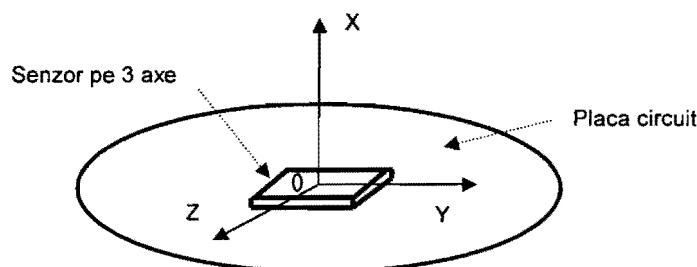


Figura 3